

n сохраняется, а активационный объем уменьшается на порядок, что свидетельствует об изменении характера барьеров, тормозящих дислокации.

Зависимость длины l_p пробега дислокаций от времени t_p при $\tau = 0.30 \pm 0.02$ (1) и 0.22 ± 0.01 МПа (2) (рис. 2) носит линейный характер лишь при временах $t_p \leq 3.5$ мс. Увеличение t_p приводит к тому, что l_p становится линейно зависимой от $\ln t_p$. Этот результат также свидетельствует о смене механизма торможения дислокаций при $t_p \sim 3.5$ мс и дает основание предположить, что переход зависимости $l_p(t_p)$ от линейной по t_p к линейной от $\ln t_p$ вызван увеличением внутренних напряжений, например термоактивированной перестройкой барьеров под действием приложенного напряжения τ , что подтверждает вышеизложенное.

Таким образом, обнаружен пик скорости термоактивированного движения дислокаций при напряжениях 0.2 МПа. Наблюдаемые при этом скорости термоактивированного движения дислокаций на плато импульса $\sim 10^0 \div 10^{-1}$ см/с в данных кристаллах достигаются лишь при напряжениях τ более 2.0 МПа, т. е. вблизи напряжений предела текучести (рис. 1). Учитывая, что скорости термоактивированного движения дислокаций в данном диапазоне нагрузок ($\sim 0.2 \div 0.3$ МПа) являются аномально высокими и что точечные дефекты не оказывают существенного влияния на атермическое движение дислокаций, можно утверждать, что движение дислокаций на фронте нагружающего импульса в данной области напряжений является надбарьерным, а напряжение $\tau = 0.2$ МПа — напряжение Пайерлса.

Список литературы

- [1] Ермолаев Г. Н., Ниненко С. И., Урусовская А. А. // ФТТ. 1989. Т. 31. № 2. С. 242—244.
- [2] Ермолаев Г. Н., Ниненко С. И., Урусовская А. А. // ФТТ. 1989. Т. 31. № 4. С. 244—278.
- [3] Ермолаев Г. Н., Ниненко С. И. // ПТЭ. 1985. № 1. С. 178—180.

Институт физики высоких давлений
им. Л. Ф. Верещагина АН СССР
Троицк
Московская область

Поступило в Редакцию
8 февраля 1990 г.
В окончательной редакции
17 июля 1990 г.

УДК 548 : 537.611.46

© Физика твердого тела, том 33, № 2, 1991
Solid State Physics, vol. 33, N 2, 1991

СЛАБЫЙ ФЕРРИМАГНЕТИЗМ В ФЕРРИТАХ-ХРОМИТАХ НЕОДИМА

*A. С. Москвин, Г. Г. Артемьев, А. М. Кадомцева, Т. М. Леднева,
М. М. Лукина, Т. Л. Овчинникова*

Слабые ферримагнетики — системы с конкурирующим антисимметричным обменом — обладают целым комплексом интересных магнитных свойств, сочетаю в себе и свойства слабых ферромагнетиков, и свойства ферримагнетиков.

Одним из наиболее ярких представителей слабых ферримагнетиков являются смешанные [ферриты-хромиты редких земель и иттрия типа $RFe_{1-x}Cr_xO_3$. В этих соединениях слабоферримагнитное упорядочение в d -подрешетке приводит к ряду аномалий в магнитной поляризации редкоземельной подрешетки. Особенности магнитного поведения R-подрешетки в слабых ферримагнетиках изучены более или менее детально только для феррита-хромита гадолиния [1]. Авторами работы [1] подчеркнута особая

важность экспериментальных исследований магнитного поведения слабых ферримагнетиков $RFe_{1-x}Cr_xO_3$ при малых концентрациях ионов Fe^{3+} ($x \sim 1$) или Cr^{3+} ($x \ll 1$), когда возможно аналитическое описание концентрационных зависимостей намагниченностей различных подрешеток.

Эффективное магнитное поле, действующее на R-ионы со стороны d -подрешетки в чистых $RFeO_3$ и $RCrO_3$, может быть представлено в виде суммы «ферро- и антиферромагнитного» вкладов

$$H = \alpha m + \beta L, \quad (1)$$

где параметр α обусловлен в основном изотропным $f-d$ -обменом, а параметры β определяются анизотропными $f-d$ -взаимодействиями (магнитодипольное взаимодействие и обмен).

В слабых ферримагнетиках $RFe_{1-x}Cr_xO_3$ вклад каждой из d -подрешеток в H будет иметь вид, аналогичный (1) с заменой m и L на их средние значения для соответствующих подрешеток. Так, например, для конфигурации G_x (G_z) среднее значение с (a)-компоненты эффективного поля может быть представлено как

$$H = \alpha_{Fe} m_{Fe} + \alpha_{Cr} m_{Cr} + \beta_{Fe} l_{Fe} + \beta_{Cr} l_{Cr}. \quad (2)$$

При малых концентрациях и низких температурах

$$m_{Fe} \approx 1 - x, \quad m_{Cr} \approx (S_{Cr}/S_{Fe})(2\delta - 1)x, \quad l_{Fe} \approx 1 - x, \quad l_{Cr} \approx x, \quad (3)$$

где

$$\delta = \frac{d_{CrFe}}{d_{FeFe}} \frac{l_{FeFe}}{l_{CrFe}} < 0$$

— параметр, характеризующий конкуренцию антисимметричного обмена $Cr-Fe$ и $Fe-Fe$ (d — вектор Дзялошинского, I — обменный интеграл). Таким образом, при малых x

$$H(x) = H^{RFeO_3}(1 - x) + H^{RCrO_3}x + (2/5)\alpha_{Cr}(3\delta - 4)x, \quad (4)$$

при больших x ($x \leq 1$) эффективное поле можно представить в аналогичной форме (замена $Fe \leftrightarrow Cr$)

$$H(x) = H^{RFeO_3}(1 - x) + H^{RCrO_3}x + (2/3)(5\delta' - 4)\alpha_{Fe}(1 - x), \quad (5)$$

где

$$\delta' = \frac{d_{FeCr}}{d_{CrCr}} \frac{l_{CrCr}}{l_{FeFe}} < 0.$$

Последнее слагаемое в формулах для $H(x)$ имеет чисто «слабоферримагнитное» происхождение и связано с отличием углов скоса магнитных моментов Fe и Cr в слабоферримагнитном $RFe_{1-x}Cr_xO_3$ от их значений в чистых $RFeO_3$ и $RCrO_3$. Именно это слагаемое нарушает применимость простой и, казалось бы, естественной модели суперпозиции для эффективного поля $H(x)$ и намагниченности $M(x)$ в $RFe_{1-x}Cr_xO_3$, согласно которой

$$H(x) = H^{RFeO_3}(1 - x) + H^{RCrO_3}x, \quad M_R(x) = M_R^{RFeO_3}(1 - x) + M_R^{RCrO_3}x. \quad (6)$$

Легко видеть, что эта модель справедлива во всей области изменения x , только при $\alpha_{Fe} \approx 0$, $\alpha_{Cr} \approx 0$, т. е. если эффективное поле имеет чисто «антиферромагнитное» происхождение как в $RFeO_3$, так и в $RCrO_3$. При малых концентрациях ионов Cr ($x \ll 1$) модель суперпозиции применима при $\alpha_{Cr} \approx 0$, а при малых концентрациях ионов Fe ($x \leq 1$) она применима при $\alpha_{Fe} \approx 0$.

Именно такая ситуация имеет место в системе $NdFe_{1-x}Cr_xO_3$ при больших концентрациях ионов Cr ($x \leq 1$), поскольку «ферромагнитным» вкладом в эффективное поле на ионах Nd в $NdFeO_3$ можно пренебречь в сравнении с «антиферромагнитным» [2] и $\alpha_{Fe} \approx 0$.

Таким образом, намагниченность $\text{NdFe}_{1-x}\text{Cr}_x\text{O}_3$ при $x \leq 1$ может быть представлена как

$$M(x) \approx M_d(x) + M_{\text{Nd}}^{\text{NdFeO}_3}(1-x) + M_{\text{Nd}}^{\text{NdCrO}_3}x, \quad (7)$$

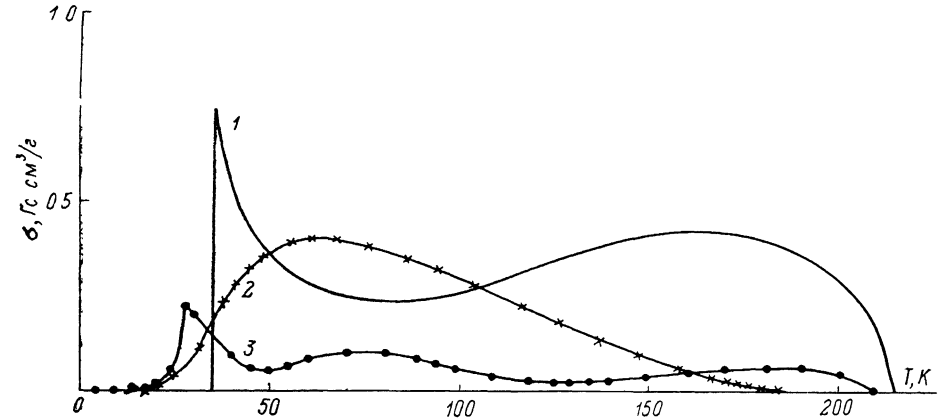


Рис. 1. Температурная зависимость спонтанной намагниченности NdCrO_3 (1), $\text{NdCr}_{0.95}\text{Fe}_{0.05}\text{O}_3$ (2), $\text{NdCr}_{0.9}\text{Fe}_{0.1}\text{O}_3$ (3).

где $M(x)$ — намагниченность слабоферримагнитно-упорядоченной FeCr -подрешетки. Отметим, что при выборе $M_d(0) \equiv M_{\text{Fe}}^{\text{NdFeO}_3}$ и $M_d(1) \equiv M_{\text{Cr}}^{\text{NdCrO}_3}$ положительными обе величины M_{Nd} будут отрицательными для $T > 40 \text{ K}$ [2].

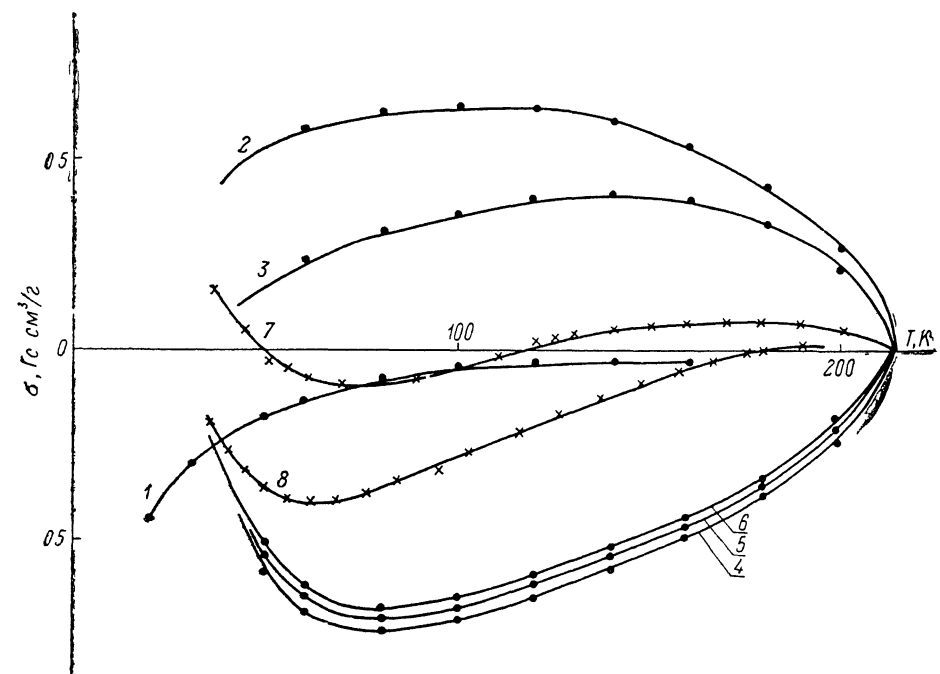


Рис. 2. Температурная зависимость намагниченности d - и Nd-подрешеток, полученная обработкой экспериментальных данных по формуле (7).

1 — M_{Nd} (NdFeO_3) ($x = 0$), 2 — M_d ($x = 0.95$), 3 — M_d ($x = 0.9$), 4 — M_{Nd} (NdCrO_3) ($x = 1$), 5 — M_{Nd} ($x = 0.95$), 6 — M_{Nd} ($x = 0.9$), 7 — $M_{\text{поля}}$ ($x = 0.95$), 8 — $M_{\text{поля}}$ ($x = 0.9$).

Соотношение (7) при известных зависимостях $M_{\text{Nd}}(T)$ в NdFeO_3 и NdCrO_3 [2] дает возможность по экспериментальным кривым $M(x, T)$ найти концентрационные и температурные зависимости намагниченности FeCr-подрешетки.

Нами были получены температурные зависимости намагниченности слабых ферримагнетиков $\text{NdFe}_{1-x}\text{Cr}_x\text{O}_3$ при $x=0.90$ и 0.95 (рис. 1). Для обоих составов в области низких температур наблюдается переход из конфигурации $\Gamma_2(G_z)$ в антиферромагнитную конфигурацию $\Gamma_1(G_y)$, характерную для чистого NdCrO_3 при $T < T_M = 35$ К. При $x=0.95$ наблюдается почти полная компенсация вкладов FeCr- и Nd-подрешеток в магнитный момент. Отметим, что из-за очень малой величины намагниченности, а также из-за неоднородности по составу исследуемых кристаллов вблизи $T \approx 201$ и ≈ 45 К нельзя исключить наличия точек компенсации магнитного момента при этих температурах (рис. 1).

На рис. 2 представлены результаты обработки экспериментальных данных по формуле (7), причем для состава $x=0.95$ была выбрана экспериментальная зависимость $M(T)$ с двумя точками компенсации как более «гладкая». Полученные зависимости $M(x, T)$ находятся в полном соответствии с известными для слабых ферримагнетиков типа $\text{YFe}_{1-x}\text{Cr}_x\text{O}_3$, $\text{LuFe}_{1-x}\text{Cr}_x\text{O}_3$ [1], содержащих немагнитные R-ионы. Внедрение всего лишь 5 % ионов Fe^{3+} в NdCrO_3 приводит к уменьшению магнитного момента d -подрешетки почти на 50 % при температурах ~ 100 К и значительно больше при низких температурах с возможной полной компенсацией момента. Замещение 10 % Cr на Fe приводит к уменьшению намагниченности NdCrO_3 примерно в три раза при $T \sim 100$ К с дальнейшим падением намагниченности до нуля при $T \leq 50$ К.

Таким образом, магнитное поведение ферритов-хромитов неодима при больших концентрациях ионов Cr^{3+} не только полностью согласуется с представлениями о слабоферромагнитном упорядочении Fe—Cr-подрешетки, но и позволяет получить полу количественную информацию о характере температурной и концентрационной зависимости магнитного момента d -подрешетки.

Список литературы

- [1] Kadomtseva A. M., Moskvin A. S. // Acta Phys. Polon. A 68. 1985. N 2. P. 303—316.
- [2] Кадомцева А. М., Лукина М. М., Москвин А. С., Хафизова Н. А. // ФТТ. 1978. Т. 20. № 7. С. 2139—2144.

Московский государственный университет
им. М. В. Ломоносова

Поступило в Редакцию
17 июля 1990 г.

УДК 537.226 : 537.533

© Физика твердого тела, том 33, № 2, 1991
Solid State Physics, vol. 33, N 2, 1991

ИССЛЕДОВАНИЕ ПОСЛЕЭМИССИИ ЭКЗОЭЛЕКТРОНОВ С КРИСТАЛЛОВ НИОБАТА ЛИТИЯ

С. П. Грибков, В. С. Зальцберг, В. И. Носова, | В. Е. Рисин

Прогрев и последующее охлаждение униполярных кристаллов LiNbO_3 в вакууме $1 \cdot 10^{-3}$ Па приводят к возникновению длительной послеэмиссии при постоянной температуре 293 К с Z- поверхности ниобата лития. Интенсивность такой послеэмиссии спадает по закону $I = I_0 \exp(-t/\tau)$ с постоянной времени $\tau = 1—3$ ч.

Механизм послеэмиссии может быть выявлен при исследовании влияния внешнего электрического поля, приложенного к образцу, на интенсивность послеэмиссии. С этой целью образцы LiNbO_3 (пластины $15 \times 10 \times 1$ мм) располагались в специальной ячейке между двумя металлическими электродами. В верхнем электроде имелось отверстие для выхода экзоэлектронов, которые регистрировались ВЭУ-6. На нижний электрод подавалось